

1. (20%) Assume there are Q users, each user's transmitted symbol is s and $\mathbb{E}\{ss^H\} = \mathbf{I}$, and

\mathbf{n} is independent and identically distributed (i.i.d.) additive Gaussian noise. The received

signal chip sampled over the k th symbol is

$$\mathbf{x}(k) = \mathbf{H}\mathbf{A}\mathbf{s}(k) + \mathbf{n}(k),$$

where $\mathbf{H} = [\mathbf{h}_1, \mathbf{h}_2, \dots, \mathbf{h}_Q]$: channel matrix,

$\mathbf{A} = \text{diag}[\sigma_1, \sigma_2, \dots, \sigma_Q]$: power control factor,

$\mathbf{s}(k) = [s_1(k), s_2(k), \dots, s_Q(k)]^T$: transmit symbol.

Based on the Minimum Mean Square Error (MMSE) detector design criterion on p. 29 of Chapter 2, please derive the Wiener solution expressed in \mathbf{R}_{xx} and \mathbf{r}_{xs} , which are signal correlation matrix and cross-correlation vector, respectively.

$\mathbf{x}(k) = \mathbf{H}\mathbf{A}\mathbf{s}(k) + \mathbf{n}(k)$ receive signal

$\mathbf{H} = [\mathbf{h}_1, \mathbf{h}_2, \dots, \mathbf{h}_Q]$ channel matrix

$\mathbf{A} = \text{diag}[\sigma_1, \sigma_2, \dots, \sigma_Q]$ power control factor

$\mathbf{s}(k) = [s_1(k) \dots s_Q(k)]^T$ transmit symbol

△ MMSE criterion: jointly minimize MAI and noise

$$\begin{aligned} \mathbf{d}_{MS} &= \arg \min_{\mathbf{d}_{MS}} \mathbb{E} \{ \|\sigma_1 s_1(k) - \mathbf{d}_{MS}^H \mathbf{x}(k)\|^2 \} \\ &= \mathbb{E} \{ (\sigma_1 s_1(k) - \mathbf{d}_{MS}^H \mathbf{x}(k)) (\sigma_1 s_1(k) - \mathbf{d}_{MS}^H \mathbf{x}(k))^H \} \\ &= \sigma_1^2 - \mathbf{r}_{xs} \mathbf{d} - (\mathbf{r}_{xs} \mathbf{d})^H + \mathbf{d}^H \mathbf{R}_{xx} \mathbf{d} \end{aligned}$$

$$\text{let } \frac{\partial}{\partial \mathbf{d}} \mathbb{E} \{ \|\sigma_1 s_1(k) - \mathbf{d}_{MS}^H \mathbf{x}(k)\|^2 \} = 0$$

$$\Rightarrow \mathbf{R}_{xx} \mathbf{d} - \mathbf{r}_{xs} = 0 \Rightarrow \mathbf{d}_{MS} = \mathbf{R}_{xx}^{-1} \mathbf{r}_{xs}$$

$$\text{solution} \Rightarrow \mathbf{d}_{MS} = \mathbf{R}_{xx}^{-1} \mathbf{r}_{xs}$$

$$\begin{aligned} \textcircled{1} \mathbf{R}_{xx} &= \mathbb{E} \{ \mathbf{x}(k) \mathbf{x}^H(k) \} \\ &= \mathbb{E} \{ (\mathbf{H}\mathbf{A}\mathbf{s}(k) + \mathbf{n}(k)) (\mathbf{H}\mathbf{A}\mathbf{s}(k) + \mathbf{n}(k))^H \} \\ &= \mathbb{E} \{ \mathbf{H}\mathbf{A}\mathbf{s}(k) \mathbf{s}^H(k) \mathbf{A}^H \mathbf{H}^H \} + \mathbb{E} \{ \mathbf{H}\mathbf{A}\mathbf{s}(k) \mathbf{n}^H(k) \} + \mathbb{E} \{ \mathbf{n}(k) \mathbf{s}^H(k) \mathbf{A}^H \mathbf{H}^H \} + \mathbb{E} \{ \mathbf{n}(k) \mathbf{n}^H(k) \} \end{aligned}$$

$$\begin{aligned} &\mathbf{H}\mathbf{A} \mathbb{E} \{ \mathbf{s}(k) \mathbf{s}^H(k) \} \mathbf{A}^H \mathbf{H}^H \\ &= \mathbf{H}\mathbf{A} \sigma_s^2 \mathbf{A}^H \mathbf{H}^H \\ &= \mathbf{H} \|\mathbf{A}\|^2 \mathbf{H}^H \quad \mathbb{E} \{ \mathbf{s} \mathbf{s}^H \} = \mathbf{I} \end{aligned}$$

$$\begin{aligned} &\hookrightarrow \mathbf{H}\mathbf{A} \mathbb{E} \{ \mathbf{s}(k) \mathbf{n}^H(k) \} = 0 \quad (\because \mathbf{s} \text{ and } \mathbf{n} \text{ indep}) \\ &\hookrightarrow \mathbb{E} \{ \mathbf{n}(k) \mathbf{s}^H(k) \mathbf{A}^H \mathbf{H}^H \} = \mathbb{E} \{ \mathbf{n}(k) \} \mathbb{E} \{ \mathbf{s}^H(k) \mathbf{A}^H \mathbf{H}^H \} = 0 \end{aligned}$$

$$\begin{aligned} &= \mathbf{H} \|\mathbf{A}\|^2 \mathbf{H}^H + \sigma_n^2 \mathbf{I} \\ &= \sum_{g=1}^Q \sigma_g^2 \mathbf{h}_g \mathbf{h}_g^H + \sigma_n^2 \mathbf{I} \end{aligned}$$

$$\begin{aligned} \textcircled{2} \mathbf{r}_{xs} &= \mathbb{E} \{ \mathbf{x}(k) \sigma_1 s_1^*(k) \} \quad , \text{ from P18 } \Rightarrow \mathbf{x}(k) = \sigma_1 \mathbf{h}_1 s_1(k) + \sum_{g=2}^Q \sigma_g \mathbf{h}_g s_g(k) + \mathbf{n}(k) \\ \text{let } \mathbf{r}_{xs} &= \mathbb{E} \{ \sigma_1 \mathbf{h}_1 s_1(k) \sigma_1 s_1^*(k) \} + \mathbb{E} \{ \sum_{g=2}^Q \sigma_g \mathbf{h}_g s_g(k) \sigma_1 s_1^*(k) \} + \mathbb{E} \{ \mathbf{n}(k) \sigma_1 s_1^*(k) \} \\ &= \sigma_1^2 \mathbf{h}_1 \mathbb{E} \{ s_1(k) s_1^*(k) \} \\ &= \sigma_1^2 \mathbf{h}_1 \end{aligned}$$

$$\begin{aligned} &\text{訊號之間彼此獨立} \quad \because \sigma_1 \mathbb{E} \{ \mathbf{n}(k) \} \mathbb{E} \{ s_1^*(k) \} = 0 \quad (\mathbf{n}(k), s_1(k) \text{ indep}) \\ &\left(\text{i.e. } \mathbb{E} \{ s_i(k) s_j^*(k) \} = \begin{cases} 0, & i \neq j \\ 1, & i = j \end{cases} \right) \end{aligned}$$

2. (30%) Consider the single-user RAKE, ZF, and MMSE detectors in CDMA systems. The simulation environment is assumed as follows:

- It is assumed that user 1 is the desired signal with power σ_1^2 , and the others are the MAI with the same transmit power σ_i^2 .

- The input SNR_i and SIR_i are defined as

$$\text{SNR}_i = \sigma_1^2 / \sigma_n^2 ; \text{SIR}_i = \sigma_1^2 / \sigma_i^2.$$

- Q active user signals are transmitted via independent Rayleigh fading paths with path delays assumed to be uniform over $[0, 5T_c]$ (i.e., $L = 5$).
- All CDMA signals are BPSK modulated and spread by a random code of length 48 (a random sequence of ± 1).
- Perfect channel estimation is assumed.

Perform the following tasks and **COMMENT on your results**:

- Plot SINR_o (output SINR in dB) of the detectors as a function of SNR_i (from -20 to 20 dB with an increment of 2 dB) with $\text{SIR}_i = 0$ dB and $Q = 8$.
(Using HW2_1_a_2025.m)
- Plot SINR_o (output SINR in dB) of the detectors as a function of Q (from 1 to 10) with $\text{SNR}_i = 0$ dB and $\text{SIR}_i = 0$ dB. (Using HW2_1_b_2025.m)

criteria :

- Single-user system 去detect user1 訊號，其餘user ($Q-1$) 為Multi-Access interference
- Detector : RAKE, ZF, MMSE
- Path delays $L = 5$
- BPSK , processing gain(spreading factor) = $N = 48$
- Perfect channel estimation assumed.

$$h_q = \sum_{l=1}^L \alpha_{q,l} c_{q,l} = C_q f_q$$

$$f_q = [\alpha_{q,1}, \alpha_{q,2} \dots \alpha_{q,L}]^T$$

$$C_q = \begin{pmatrix} c_q[0] & 0 & \dots & 0 \\ \vdots & c_q[0] & \dots & \vdots \\ c_q[N-1] & \vdots & \dots & 0 \\ 0 & c_q[N-1] & \dots & c_q[0] \\ \vdots & \vdots & \ddots & \vdots \\ 0 & 0 & \dots & c_q[N-1] \end{pmatrix}$$

RAKE detector : $d_{RAKER} = h_1$

Zero-forcing detector : $d_{ZF} = H(H^H H)^{-1} e_1$

MMSE detector : $d_{MS} = R_{xx}^{-1} r_{xs}$, 如第一題推導的

2.(a) $Q = 8$, $SIR_i = 0dB$ 畫出 SIR_o ($-20dB \sim 20dB$)，去比對 $SINR_o$ 隨 SNR_i 變化有什麼改變，看不同的 detector 對 $SINR_o$ 提升效果

參數設置：

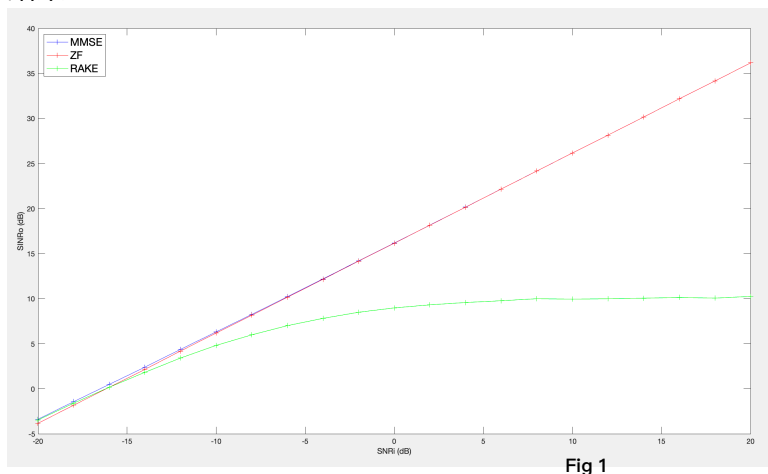
```

5  %% Parameter Setting
6
7  SIR = 0;                                % signal-to-CCI ratio
8  IPW = 10^(-SIR/10);                    % interference power
9  Q = 8;                                  % number of active users
10 L = 5;                                  % number of paths (fingers)
11 N = 48;                                 % random code length
12 trial = 5000;                           % number of Monte Carlo runs
13 SNR = -20:2:20;                          % signal to noise ratio
14

```

這裡有用到 Monte Carlo runs，原因是因為無線通訊中的 fading. Interference . noise. Spreading code 都是隨機變數，所以只做一次模擬的話，結果較不準確，故做 5000 次並取平均。

結果：



Comment: 從 Fig 1 可以觀察到

- 在低 SNR_i 時 ZF 的表現最差，這是因為 ZF 用比較暴力 ($\times H^{-1}$) 的方式去消掉 ISI ($A s(k) \xrightarrow{\text{channel}} H A s(k) \xrightarrow{ZF} H^{-1} H A s(k) = A s(k)$)，但他並沒有考慮到雜訊的部分，所以當雜訊很大 ($H \rightarrow \text{singular}, H^{-1} \rightarrow \infty, H^{-1} n(k) \rightarrow \infty$) 時，他就會被放大，使得整個系統效能下降。而當 SNR_i 很高時，ZF 的表現很好，因為他完美消除 ISI
- MMSE 他權衡 noise 和 ISI，在高低 SNR_i 表現都很不錯，表現得比 ZF 更穩定，不過他的計算量會比 ZF 高很多，所以適合在低 SNR_i 使用
- RAKE 他比較單純在對接收到的訊號進行合併（做 match filter $\times H^H$ ），沒有對 MAI 進行處理，抗干擾能力較弱 ($A s(k) \xrightarrow{\text{channel}} H A s(k) \xrightarrow{RAKE} H^H H A s(k) = G A s(k)$)，

$$G = H^H H = \begin{pmatrix} h_1^H h_1 & h_1^H h_2 & \cdots & h_1^H h_Q \\ \vdots & \vdots & \ddots & \vdots \\ h_Q^H h_1 & h_Q^H h_2 & \cdots & h_Q^H h_Q \end{pmatrix} \text{ 對角線元素 } h_i^H h_i \text{ 為 processing gain, 非對角元素為 } h_i^H h_j$$

（不同 user 的干擾），雖然這裡的 IPW 是固定值 $SIR_i = 0dB$ ， $SINR_{RAKE} \approx \frac{K}{1 + \frac{P_i}{P_s}}$ ，當高 SNR_i 時

（ $P_s \rightarrow \text{無限大}$ ），表現會逐漸趨於漸近線，但反觀 ZF/MMSE 可透過干擾消除、抑制去提高 $SINR$ 。但他的計算量會是三者中最低的，所以實施簡單計算量低。

- 通常會先用 RAKE 最大化 SNR，再用 ZF/MMSE 做二次處理去消掉 MAI。

結論：

- ZF 適合在高 SNR_i 時使用，低 SNR 反而會放大雜訊
- MMSE 適合在低 SNR_i 時使用，會去權衡雜訊和 Interference
- RAKE 無法有效對抗 MAI，通常用於 multi-path 補償

2.(b)不同的 $Q(1\sim 10)$ ，固定 $SNR_i = 0dB$ 和 $SIR_i = 0dB$ 畫出 $SINR_o$ ，去看當越來越多user加入後，RAKE, ZF, MMSE三個的抗干擾能力為何

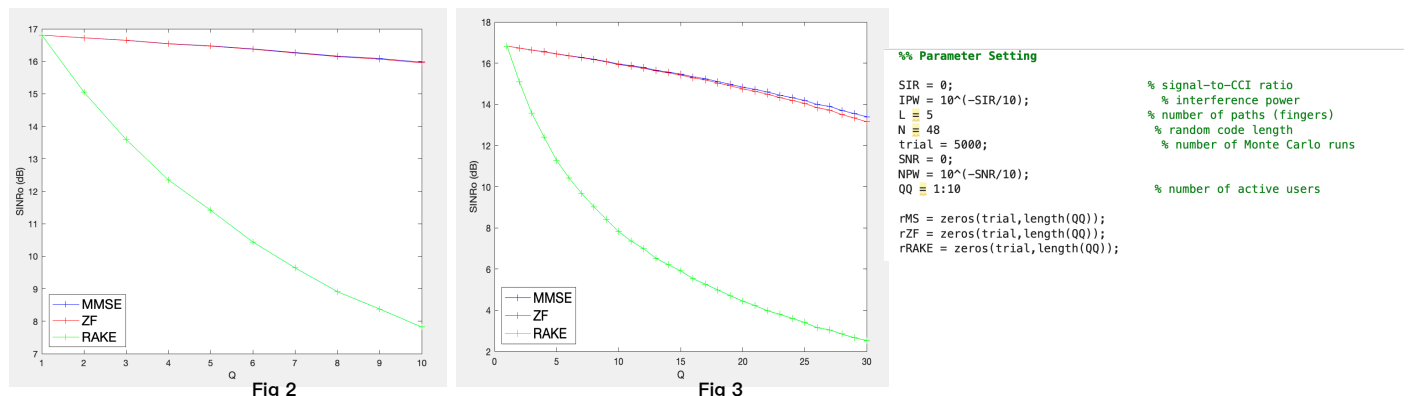
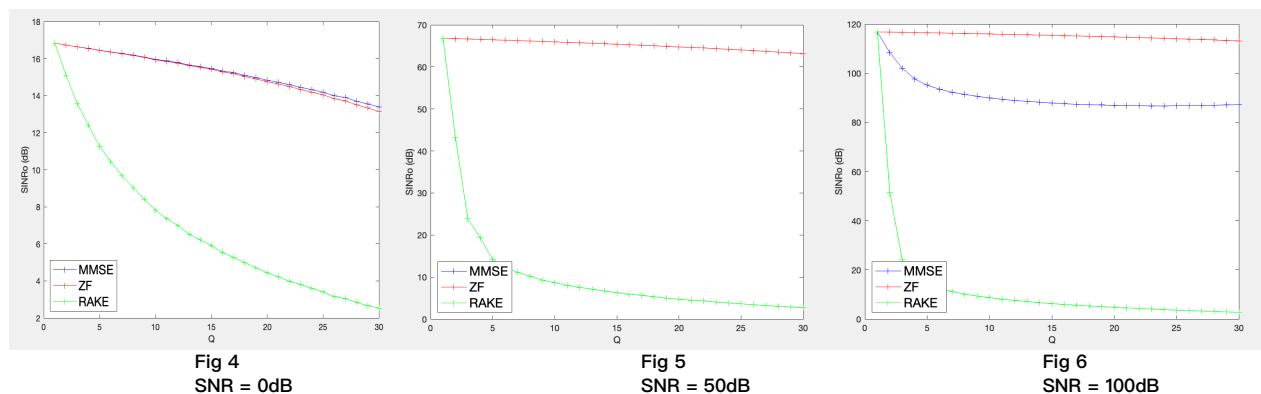


Fig2 是這次助教要求的數字，Fig 3是我想知道若是user數量再上升會有什麼事發生

Comment: 從Fig 2.3可以觀察到

- RAKE下降的最快，因為他不會主動去消除MAI，他是用在合併multi-path，因此當 Q 增多，干擾變強，RAKE沒辦法對抗，所以 $SINR_o$ 表現就會急劇下降（對干擾適應差）
- ZF他是完美消除ISI，當 Q 增加時，ZF會去inverse $Q \times Q$ 的矩陣，計算量有變大。 $SINR$ 仍然會下降，但下降的比RAKE緩慢
- MMSE有去權衡干擾和雜訊，去做整體最佳化的選擇，抗干擾能力最好，並且他不像ZF會放大雜訊，表現也較穩定，尤其在 Q 很大時（看Fig3）



這次助教要我們用的是 $SNR = 0dB$ 但若是我們把 SNR 調大，如上三圖所示，可以很明顯看到當我們 $SNR = 100dB$ ，因為ZF只要考慮干擾， SNR 又很大，雜訊幾乎可忽略，所以表現比MMSE還要好。

總結：

Detector	概念	優點	缺點
RAKE $d_{RAKER} = h_1$	利用multi-path合併，增強訊號	可以用multi-path增強訊號強度，計算量最低	無法消除MAI，抗干擾能力差
ZF $d_{ZF} = H(H^H H)^{-1} e_1$	完全消除干擾，但可能放大雜訊	在干擾較強時能有效去除干擾(SNR 很大時可用)	需要矩陣反轉，數值不穩定，雜訊會被放大
MMSE $d_{MS} = R_{xx}^{-1} r_{xs}$	在干擾和雜訊之間做折衷	平衡干擾與雜訊，穩定性較好	計算量較大，需要雜訊資訊

3. (50%) Consider the SIC and the PIC detector with the Rake receiver in CDMA systems, respectively. The simulation environment is assumed as follows:

- $Q = 3$ active user signals are transmitted via independent Rayleigh fading paths with path delays assumed to be uniform over $[0, 5T_c]$ (i.e., $L = 5$).
- All CDMA signals are BPSK modulated and spread by a random code of length 48 (a random sequence of ± 1).
- Perfect channel estimation is assumed.
- The input SNR_i is defined as

$$\text{SNR}_i = \sigma_i^2 / \sigma_n^2$$

- The relative power levels of the three users are fixed and given by $\text{SNR}_1 = X \text{ dB}$, $\text{SNR}_2 = (X-6) \text{ dB}$, and $\text{SNR}_3 = (X-12) \text{ dB}$.
- The decision is performed according to

$$\text{Dec}(x) = \begin{cases} 1, & \text{if } \text{Real}(x) \geq 0 \\ -1, & \text{if } \text{Real}(x) < 0 \end{cases}$$

Perform the following tasks and **COMMENT on your results**:

- Perform SIC detection on the three users in the order of descending power levels, i.e., 1, 2, 3. Plot the average bit error rate of the three users as a function of input SNR_1 (from -10 to 20 dB with an increment of 5 dB). (Using HW2_2_SIC_2025.m)
- Perform SIC detection on the three users in the order of ascending power levels, i.e., 3, 2, 1. Plot the average bit error rate of the three users as a function of input SNR_1 (from -10 to 20 dB with an increment of 5 dB). (Using HW2_2_SIC_2025.m)
- Perform PIC detection on the three users. Plot the average bit error rate of the three users as a function of input SNR_1 (from -10 to 20 dB with an increment of 5 dB). (Using HW2_2_PIC_2025.m)
- Compare the results in (a)-(c). Which detection scheme is the best for such a scenario? Why?

criteria :

- 在multi-users去detect 各個user訊號，並比較用SIC.PIC detector他們的錯誤率
- Path delays $L = 5$
- BPSK , processing gain(spreading factor) = $N = 48$
- Perfect channel estimation assumed.
- $SNR_1 = X dB, SNR_2 = X - 6 dB, SNR_3 = X - 12 dB$

3(a)(b)

SIC_a 是從訊號最強到最弱的開始detect，detect完後重建該訊號從總訊號扣除，繼續detect下一個
 SIC_b 是從訊號最弱到最強的開始detect，detect完後重建該訊號從總訊號扣除，繼續detect下一個

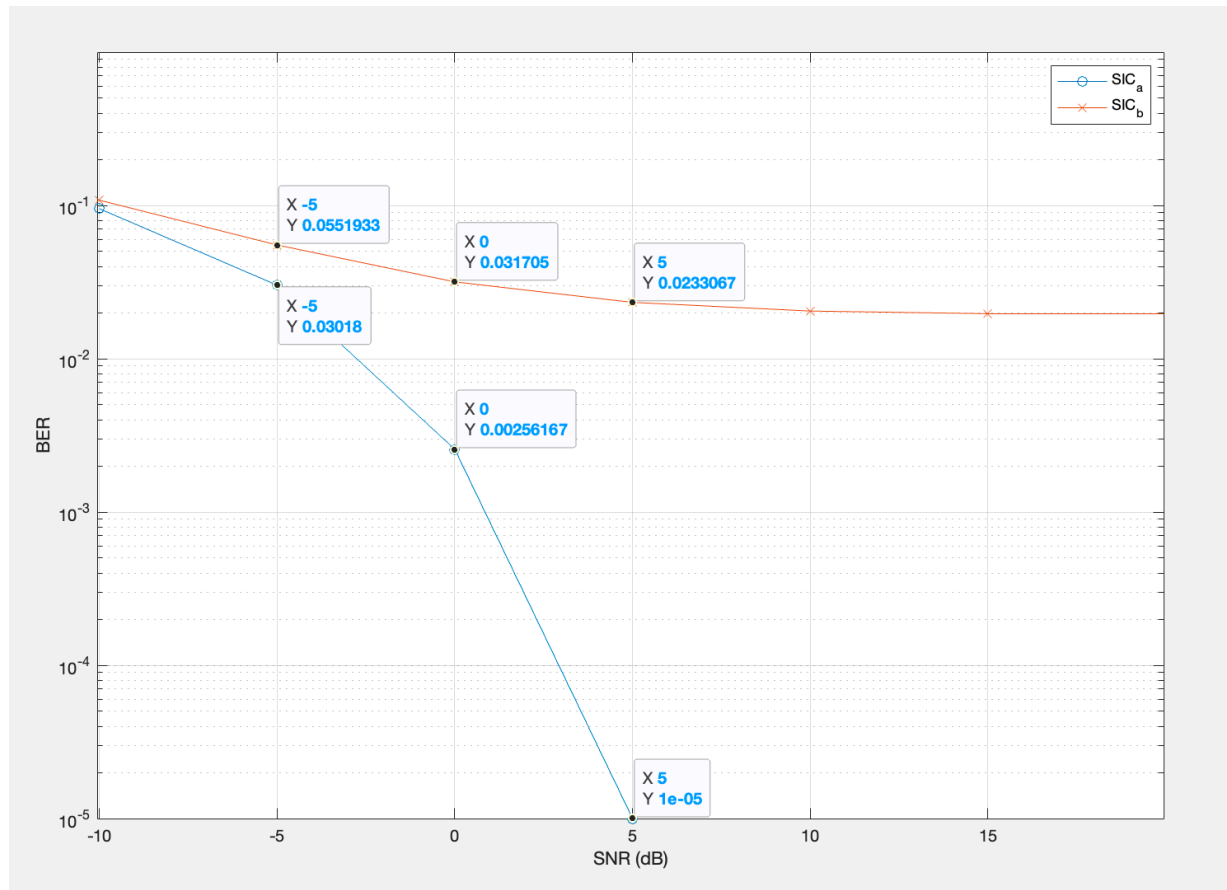


Fig 4

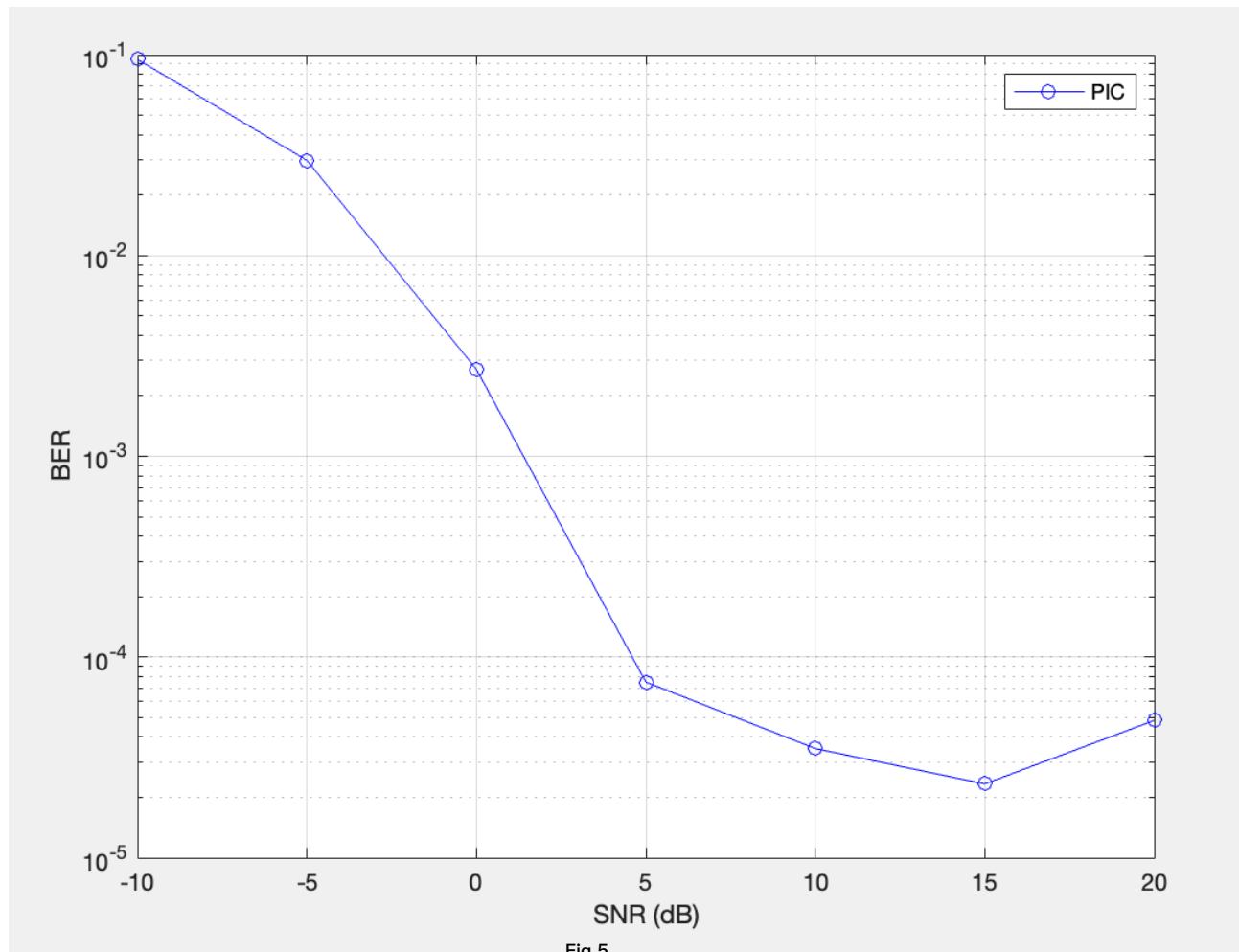
Comment :

可以看到Fig 4在SNR相同的情況下， SIC_a 的BER會比 SIC_b 還低，這是因為從比較強的訊號開始判斷，比較容易判斷正確，所以可以比較有效從總訊號扣除（剩下的干擾也就較小，因為剩下的s中，要判斷的是訊號最強那個）。但若是用 SIC_b 的方法，弱的比較難解出來，因為還有比自己強的干擾在，所以detect不容易成功。

結論： SIC_a 比 SIC_b 好用

3.(c)

使用PIC去同時估計所有訊號



Comment :

- 在低SNR時，因為PIC會同時估計並消除所有user的干擾，這種初始detect錯誤，所以去影響到抵銷的結果，使得產生error propagation的效應，所以BER較高。
- 在高SNR時，BER表現都很好 10^{-4} 以下，所以在高SNR下，PIC干擾消除能力比較好。不過可以看到在SNR15–20反而BER提高了，原因可能是因為PIC會用前一輪的detect 結果去抵銷干擾，若是存在誤差，會影響到最終BER
- 相較於SIC，SIC可以先處理一個訊號，降低干擾後再detect下一個，而PIC同時處理所有訊號，所以更容易受到初始錯誤的影響。

3.(d)

考慮 SIC_a , SIC_b , PIC ，我認為 SIC_a 會是最好的detect，原因如下：

1.在高或低SNR表現最好：因為 PIC 在低SNR表現較差， SIC_a 能先檢測最強的訊號，並從總訊號中移除，降低後續檢測的干擾，因此 BER 在低 SNR 下仍能維持較好的表現。

2. SIC_a vs SIC_b ：

- SIC_a 透過先檢測強訊號，確保後續檢測時的干擾更少，因此 BER 下降較快。
- SIC_b 在低 SNR 時表現最差，因為最弱訊號的檢測誤差較大，影響後續訊號的干擾消除，使得 BER 很高。

3. SIC_a vs PIC

- PIC 雖然能夠同時處理所有訊號(delay較小)，但它在低 SNR 時受到error propagation影響，導致 BER 較高。

結論

Detector	BER	Complexity	Delay	Power control
SIC_a (先detect較強訊號)	最佳	中間 (要逐個detect和消除訊號)	長	Reliable detection for weak users.
SIC_b (先detect較弱訊號)	最差	中間 (和 SIC_a 相同)	長	要求高 (因為power不平均detect BER很大)
PIC	中間	最高 (要同時檢測所有訊號)	最短	要求高 (大家power最好差不多)